

การพัฒนาซอฟต์แวร์เพื่อจำลองการไหลแบบสองมิติ

Software Development for the Simulation of Two-Dimensional Flow

บุญลือ สวัสดิ์มังคล และ เอกชัย จันทสาโร
ห้องปฏิบัติการวิจัยพลศาสตร์ของไหลเชิงคำนวณ (CFD Lab)
สาขาวิชาวิศวกรรมเครื่องกล สำนักวิชาวิศวกรรมศาสตร์ มหาวิทยาลัยเทคโนโลยีสุรนารี
อ.เมือง จ.นครราชสีมา 30000
โทร 0-4422-4410-2; โทรสาร 0-4422-4411, E-Mail : boonlues@hotmail.com

บทคัดย่อ

ซอฟต์แวร์ในงานวิจัยนี้ได้รับการพัฒนาขึ้นเพื่อวิเคราะห์การไหลในสภาวะคงตัว (Steady State) สองมิติ และความเร็วของการไหลต่ำกว่าความเร็วเสียง ซอฟต์แวร์พัฒนาขึ้นบนพื้นฐานของระเบียบวิธีปริมาตรจำกัด (Finite Volume Method) โดยค่าของด้วยปรกั้งหมุดถูกเก็บไว้ที่ตำแหน่งเดียวกัน (Collocated Grids) และใช้วิธีการประมาณค่าในช่วงของ Rhee and Chow (Rhee and Chow Interpolation) เพื่อหลีกเลี่ยงปัญหาการไม่เก้าอี้กันระหว่างความเร็ว กับความดัน แบบจำลองการปั่นป่วนประเภทสองสมการ (Two-Equation Turbulence Model) ถูกนำมาใช้ในการนี้ที่การไหลเป็นแบบปั่นป่วน ซอฟต์แวร์สามารถวิเคราะห์การไหลได้หลากหลายรูปแบบ ได้แก่ การไหลแบบไม่อัดตัว (Incompressible Flow) การไหลแบบร้ายเรียบ (Laminar Flow) และการไหลแบบมีปั่นป่วน (Turbulent Flow) ซอฟต์แวร์ได้รับการทดสอบโดยการเปรียบเทียบผลการคำนวณกับผลเฉลยเชิงวิเคราะห์ ข้อมูลที่ได้จากการทดลอง และผลจากการคำนวณเชิงตัวเลขที่เป็นที่ยอมรับ พบว่า ซอฟต์แวร์มีความถูกต้องในระดับที่สามารถนำไปใช้ในงานวิจัยได้

Abstract

The software of this research work is developed for the analysis of steady two-dimensional flow at subsonic speed. The software is developed on the basis of the finite volume method. All the variables are treated on the collocated grid system and the Rhee and Chow interpolation is used to avoid the decoupling between the velocity and the pressure. The two-equation turbulence model is used for the simulation of turbulent flow. The software can analyze various flows: incompressible flow, compressible flow, laminar flow and turbulent flow. The software is tested and validated by comparing the computed results with the analytical solution, the experimental data and the acceptable numerical solution. It is found that the software is accurately applicable for the research work.

คำอธิบายสัญลักษณ์และคำย่อ

- a ความเร็วเสียง หรือ $a = \frac{\tilde{T}_d}{\tilde{T}_w} \left[1 + r \frac{\gamma - 1}{2} M_d^2 \right]^{-1}$
- A สัมประสิทธิ์ที่เกิดจากการจัดรูปสมการตามอย่างระเบียบวิธีปริมาตรจำกัด
- b $b^2 = r \frac{\gamma - 1}{2} M_d^2 \frac{\tilde{T}_d}{\tilde{T}_w}$
- b[†] พจน์ที่ก่อให้เกิดการสร้างหรือการสูญเสียของ □
- C_f สัมประสิทธิ์ความเสียดทานบนพื้นผิว
- C_p ค่าความร้อนจำเพาะที่ความดันคงที่
- C_{pw} สัมประสิทธิ์ความดันสถิตบนพื้นผิว
- C_v ค่าความร้อนจำเพาะที่ปริมาตรคงที่
- C_i ค่าคงที่ตัวที่ 1 ของสมการอัตราการสูญเสียพลังงานจลน์ของการปั่นป่วน
- C₂ ค่าคงที่ตัวที่ 2 ของสมการอัตราการสูญเสียพลังงานจลน์ของการปั่นป่วน
- C_μ ค่าคงที่ของ μ_i
- D พจน์เสริมของสมการพลังงานจลน์ของการปั่นป่วน
- e_T พลังงานรวมจำเพาะ
- E พจน์เสริมของสมการอัตราการสูญเสียพลังงานจลน์ของการปั่นป่วน
- f₁ พังก์ชันการหน่วงตัวที่ 1 ของสมการอัตราการสูญเสียพลังงานจลน์ของการปั่นป่วน
- f₂ พังก์ชันการหน่วงตัวที่ 2 ของสมการอัตราการสูญเสียพลังงานจลน์ของการปั่นป่วน
- f_μ พังก์ชันการหน่วงของ μ_i
- J จาโคบีเนี่ยนของการแปลงพิกัด, $J = \frac{\partial x}{\partial \xi} \frac{\partial y}{\partial \eta} - \frac{\partial y}{\partial \xi} \frac{\partial x}{\partial \eta}$
- k พลังงานจลน์ของการปั่นป่วน

k^+	$k^+ = \frac{k}{u_t^2}$
k_T	สภาพน้ำความร้อน
K	พลังงานจลน์ของการไหลเฉลี่ย
L	ความยาวของแผ่นเรียบ
m_p	เทอมที่ก่อให้เกิดการสร้างหรือการสูญเสียของสมการความดัน และสมการค่าแก้ไขความดัน
M_1	เลขมัคของ การปั่นป่วน
M_δ	เลขมัคที่ขอบของชั้นชิดผิว
M_∞	เลขมัคของ Free-Stream
p	ความดัน
p'	ค่าแก้ไขความดัน
p_0	ความดันรวม
Pr	เลขพรันเดลิล
r	Recovery Factor

1. บทนำ

สมการนาเวียร์สโตคส์ (Navier-Stokes Equations) เป็นสมการที่สามารถให้ผลเฉลยอย่างสมบูรณ์แบบสำหรับปัญหาการไหลของของไหล แต่ด้วยเหตุที่สมการนาเวียร์สโตคส์ประกอบขึ้นจากสมการหลายสมการ ซึ่งแต่ละสมการเป็นแบบไม่เชิงเส้น (Non-Linear) และมีความเกี่ยวพัน (Coupled) กันสมการอื่น จึงทำให้ไม่สามารถหาผลเฉลยของสมการนาเวียร์สโตคส์ได้ในรูปทั่วไปด้วยระเบียนวิธีเชิงวิเคราะห์ ทำให้การศึกษาพฤติกรรมของการไหลในช่วงเวลาที่ผ่านมาต้องอาศัยการทดลองอย่างหลีกเลี่ยงไม่ได้ เช่น การใช้อุโมงค์ลม เป็นต้น ซึ่งการทดลองแต่ละครั้งใช้เวลาและค่าใช้จ่ายสูง จึงทำให้การศึกษาพฤติกรรมของการไหลจำกัดอยู่เฉพาะหน่วยงานหรือองค์กรขนาดใหญ่เท่านั้น อีกทั้งการเปลี่ยนแปลงเงื่อนไขของการทดลอง เช่น ขนาด และรูปทรง เป็นต้น เป็นไปด้วยความล่าช้า ในปัจจุบันคอมพิวเตอร์มีสมรรถนะสูง กว่าในอดีตมาก จึงได้มีการนำคอมพิวเตอร์มาใช้เป็นเครื่องมือในการหาผลเฉลยของสมการนาเวียร์สโตคส์ด้วยระเบียนวิธีเชิงตัวเลขต่าง ๆ เช่น ระเบียนวิธีผลิต่างจำกัด (Finite Difference Method) ระเบียนวิธีชั้นประกอบจำกัด (Finite Element Method) และระเบียนวิธีปริมาตรจำกัด (Finite Volume Method) เป็นต้น พลศาสตร์ของไหลเชิงคำนวณ (Computational Fluid Dynamics, CFD) เป็นศาสตร์แขนงหนึ่งที่ว่าด้วยการใช้ระเบียนวิธีเชิงตัวเลขหาผลเฉลยของปัญหาการไหล โดย CFD จะทำการจำลองพฤติกรรมของการไหลผ่านทางหน้าจอคอมพิวเตอร์ทำให้การปรับเปลี่ยนเงื่อนไขของการไหลทำได้สะดวกและใช้เวลาไม่นาน ค่าใช้จ่ายน้อยเป็นข้อได้เปรียบประการหนึ่งของ CFD ซึ่งทำให้การศึกษาพฤติกรรมของการไหลไม่จำกัดอยู่แต่ในหน่วยงานและองค์กรขนาดใหญ่เท่านั้น นอกจากนี้ CFD ยังสามารถจำลองการไหลในบางสถานการณ์ที่ไม่สามารถทำการทดลองได้ เช่น การไหลภายในเดาปฏิกรณ์ประมาณ เป็นต้น

การได้รับความนิยมอย่างแพร่หลายของ CFD นี้ owing ให้กับความสามารถในการจำลองความซับซ้อนของ流れที่หลากหลาย ความแม่นยำและรวดเร็ว ตลอดจนความสามารถในการคำนวณค่าทางวิชาการที่ต้องการ ซึ่งเป็นจุดเด่นที่สำคัญของ CFD

จะทำให้ประเทศไทยไม่สามารถสร้างரากฐานทางวิชาการในด้านนี้ได้ ในขณะที่การสร้างซอฟต์แวร์ขึ้นเองนั้นมีราคาถูกกว่าและสามารถสร้างความเข้มแข็งทางวิชาการในระยะยาวต่อประเทศ แต่ค่อนข้างจะซ้ำในระยะเริ่มต้น ด้วยเหตุที่ซอฟต์แวร์จากต่างชาติมีราคาสูง ดังนั้นการสร้างซอฟต์แวร์ขึ้นใช้เงินเป็นการลดการนำเข้าและการเพิ่มพัฒนาค้าทางเทคโนโลยีจากต่างชาติ

2. สมการควบคุม

สมการนาเวียร์สโตคส์ ประกอบด้วยสมการอนุรักษ์สามสมการ ได้แก่ สมการความต่อเนื่องที่สร้างขึ้นจากกฎอนุรักษ์มวลของสาร สมการโมเมนตัมที่สร้างขึ้นจากกฎข้อที่สองของนิวตัน และสมการพลังงานที่สร้างขึ้นจากกฎอนุรักษ์พลังงาน โดยสมการอนุรักษ์ทั้งสามสามารถเขียนในรูปแทนเชอร์ร์ได้ดังนี้ [1]

$$\frac{\partial}{\partial x_i} (\bar{\rho} \bar{u}_i) = 0 \quad (1)$$

$$\frac{\partial}{\partial x_j} (\bar{\rho} \bar{u}_j \bar{u}_i) = - \frac{\partial \bar{p}}{\partial x_i} + \frac{\partial}{\partial x_j} [\bar{t}_{ji} + \tau_{ji}] \quad (2)$$

$$\begin{aligned} \frac{\partial (\bar{\rho} \bar{u}_j \bar{e}_T)}{\partial x_j} &= \frac{\partial}{\partial x_j} \left[\left(\frac{k_T}{C_v} + \frac{\mu_t}{\sigma_e} \right) \frac{\partial \bar{e}_T}{\partial x_j} \right] + \frac{\partial}{\partial x_j} [\bar{n}_i (\bar{t}_{ji} + \tau_{ji})] \\ &- \frac{\partial (\bar{u}_j \bar{p})}{\partial x_j} + \frac{\partial}{\partial x_j} \left[\left(\mu + \frac{\mu_t}{\sigma_e} \right) \frac{\partial k}{\partial x_j} \right] \\ &- \frac{\partial}{\partial x_j} \left[\left(\frac{k_T}{C_v} + \frac{\mu_t}{\sigma_e} \right) \frac{\partial (K+k)}{\partial x_j} \right] \end{aligned} \quad (3)$$

โดยที่ตัวยก $\bar{\cdot}$ หมายถึงค่าเฉลี่ยของ Favre ส่วนตัวยก $\bar{\cdot}$ หมายถึงค่าเฉลี่ยของ Reynolds งานวิจัยนี้เลือกใช้แบบจำลองการปั่นป่วนประเภทสองสมการ ซึ่งเสนอโดย [2] เพื่อจำลองการไหลแบบปั่นป่วน เนื่องจาก [3] ได้สรุปว่าเป็นแบบจำลองการปั่นป่วนที่ให้ผลการคำนวนสอดคล้องกับผลการทดลองเป็นที่น่าพอใจ และการกำหนดเงื่อนไขบนหน้าได้ง่าย แบบจำลองการปั่นป่วนประเภทสองสมการที่ใช้ในงานวิจัยนี้สามารถแสดงในรูปสมการได้ดังนี้

$$\mu_t = \rho C_\mu f_\mu \frac{k^2}{\varepsilon} \quad (4)$$

$$\frac{\partial (\bar{\rho} \bar{u}_j k)}{\partial x_j} = \frac{\partial}{\partial x_j} \left[\left(\mu + \frac{\mu_t}{\sigma_k} \right) \frac{\partial k}{\partial x_j} \right] + \tau_{ji} \frac{\partial \bar{u}_i}{\partial x_j} - \bar{p} (\varepsilon_s + \varepsilon_d + D) \quad (5)$$

$$\begin{aligned} \frac{\partial (\bar{\rho} \bar{u}_j \varepsilon_s)}{\partial x_j} &= \frac{\partial}{\partial x_j} \left[\left(\mu + \frac{\mu_t}{\sigma_\varepsilon} \right) \frac{\partial \varepsilon_s}{\partial x_j} \right] \\ &+ C_1 f_1 \frac{\varepsilon_s}{k} \tau_{ji} \left(\frac{\partial \bar{u}_i}{\partial x_j} + \frac{1}{3} \frac{\partial \bar{u}_k}{\partial x_k} \delta_{ij} \right) \end{aligned} \quad (6)$$

$$- \bar{p} C_2 f_2 \frac{\varepsilon_s^2}{k} - \frac{4}{3} \bar{p} \varepsilon_s \frac{\partial \bar{u}_k}{\partial x_k} + \bar{p} E$$

$$\text{โดยที่ } \varepsilon_d = M_t^2 \varepsilon_s, \quad M_t^2 = 2 \frac{k}{a^2}, \quad a^2 = \gamma R T,$$

$$D = 2 \frac{\mu}{\rho} \left(\frac{\partial \sqrt{k}}{\partial x_i} \right)^2, \quad \sigma_e = 0.91, \quad \sigma_k = 1.0, \quad \sigma_s = 1.3,$$

$$C_1 = 1.44, \quad C_2 = 1.92, \quad f_1 = 1.0, \quad f_2 = 1 - 0.3 \exp(-R_t^2),$$

$$E = 2 \frac{\mu \mu_t}{\rho \rho} \left(\frac{\partial^2 \tilde{u}_i}{\partial x_k \partial x_m} \right)^2, \quad R_t = \frac{k^2}{v \epsilon} \text{ และ } \epsilon = \epsilon_s + \epsilon_d + D$$

สมการควบคุมที่ได้มาเสนอข้างต้น ได้แก่ สมการความต่อเนื่อง สมการโมเมนตัม สมการพลังงาน สมการพลังงาน詹น์ของการบันป่วน และสมการอัตราการสูญเสียพลังงาน詹น์ของการบันป่วน ประกอบด้วย พจน์ที่เกิดขึ้นเนื่องจากการพา (Convection Term) พจน์ที่เกิดขึ้นเนื่องจากการแพร่กระจาย (Diffusion Term) และพจน์ที่ก่อให้เกิดการสร้าง หรือการสูญเสีย (Source or Sink Term) ดังนั้นสามารถเขียนสมการควบคุมในรูปทั่วไปบนพิกัดฉากรได้ดังนี้ [4]

$$\frac{\partial}{\partial x} (\rho u \phi) + \frac{\partial}{\partial y} (\rho v \phi) = \frac{\partial}{\partial x} \left(\Gamma^\phi \frac{\partial \phi}{\partial x} \right) + \frac{\partial}{\partial y} \left(\Gamma^\phi \frac{\partial \phi}{\partial y} \right) + S^\phi \quad (7)$$

รูปทั่วไปของสมการควบคุมในสมการ (7) นั้นสร้างอยู่ในระบบพิกัดฉางซึ่งเป็นรูปแบบที่ง่าย แต่การกำหนดเงื่อนไขของอนุทำได้ยากเมื่อรูปทรงของวัตถุที่ของแหล่งพลังงานมีความซับซ้อน ดังนั้นพิกัดฉางซึ่งถูกแปลงไปเป็นพิกัดวัตถุ เพื่อให้การกำหนดเงื่อนไขของอนุทำได้ง่าย โดยแสดงได้ดังนี้

$$\begin{aligned} \frac{\partial}{\partial \xi} (\rho U \phi) + \frac{\partial}{\partial \eta} (\rho V \phi) &= \frac{\partial}{\partial \xi} \left[\Gamma^\phi \left(\alpha \frac{\partial \phi}{\partial \xi} - \beta \frac{\partial \phi}{\partial \eta} \right) \right] \\ &\quad + \frac{\partial}{\partial \eta} \left[\Gamma^\phi \left(\gamma \frac{\partial \phi}{\partial \eta} - \beta \frac{\partial \phi}{\partial \xi} \right) \right] + JS^\phi \end{aligned} \quad (8)$$

โดยที่

$$J = \frac{\partial x}{\partial \xi} \frac{\partial y}{\partial \eta} - \frac{\partial x}{\partial \eta} \frac{\partial y}{\partial \xi} \quad (9)$$

$$U = u \frac{\partial y}{\partial \eta} - v \frac{\partial x}{\partial \eta}, \quad V = v \frac{\partial x}{\partial \xi} - u \frac{\partial y}{\partial \xi} \quad (10)$$

$$\alpha = \left(\frac{\partial x}{\partial \eta} \right)^2 + \left(\frac{\partial y}{\partial \eta} \right)^2, \quad \beta = \frac{\partial x}{\partial \xi} \frac{\partial x}{\partial \eta} + \frac{\partial y}{\partial \xi} \frac{\partial y}{\partial \eta} \quad (11)$$

$$\gamma = \left(\frac{\partial x}{\partial \xi} \right)^2 + \left(\frac{\partial y}{\partial \xi} \right)^2$$

3. ระเบียบวิธีเชิงตัวเลข

3.1 ระเบียบวิธีปริมาตรจำกัด

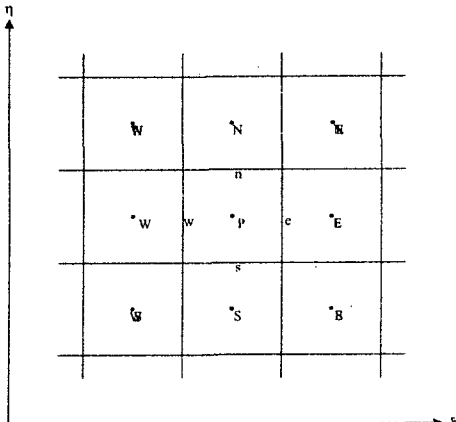
ขั้นแรกทำการหาปริพันธ์ของสมการควบคุมตลอดทั้งปริมาตรควบคุม ตัวอย่างเช่น ปริมาตรควบคุมรอบจุด P ของรูปที่ 1 โดยกำหนดให้ $\Delta \xi = \Delta \eta$ ซึ่งสามารถแสดงในรูปสมการได้ดังนี้ [5, 6]

$$\begin{aligned} &(\rho U \Delta \eta)_e \phi_e - (\rho U \Delta \eta)_w \phi_w + (\rho V \Delta \xi)_n \phi_n - (\rho V \Delta \xi)_s \phi_s \\ &= \left(\frac{\Gamma^\phi \alpha \Delta \eta}{J} \right)_e \left(\frac{\partial \phi}{\partial \xi} \right)_e - \left(\frac{\Gamma^\phi \alpha \Delta \eta}{J} \right)_w \left(\frac{\partial \phi}{\partial \xi} \right)_w \\ &\quad + \left(\frac{\Gamma^\phi \gamma \Delta \xi}{J} \right)_n \left(\frac{\partial \phi}{\partial \eta} \right)_n - \left(\frac{\Gamma^\phi \gamma \Delta \xi}{J} \right)_s \left(\frac{\partial \phi}{\partial \eta} \right)_s \\ &\quad - \left[\left(\frac{\Gamma^\phi \beta}{J} \frac{\partial \phi}{\partial \eta} \Delta \eta \right)_w + \left(\frac{\Gamma^\phi \beta}{J} \frac{\partial \phi}{\partial \xi} \Delta \xi \right)_s \right] + JS^\phi \Delta \xi \Delta \eta \end{aligned} \quad (12)$$

ที่ ϕ_e คือค่าเฉลี่ยของพจน์ที่ก่อให้เกิดการสร้างหรือการสูญเสีย จากนั้นใช้ระเบียบวิธีแบบตันลมอันดับที่หนึ่ง (First Order Upwind Differencing Scheme) กับพจน์ $\phi_e, \phi_w, \phi_n, \phi_s$ ในสมการ (12) และใช้ระเบียบวิธีแบบผลต่างกลาง (Central Differencing Scheme) กับพจน์ $\left(\frac{\partial \phi}{\partial \xi} \right)_e, \left(\frac{\partial \phi}{\partial \xi} \right)_w, \left(\frac{\partial \phi}{\partial \eta} \right)_n, \left(\frac{\partial \phi}{\partial \eta} \right)_s$ หลังจากนั้นจัดสมการให้อยู่ในรูปต่อไปนี้

$$A_P \phi_P = A_E \phi_E + A_W \phi_W + A_N \phi_N + A_S \phi_S + b^\phi \quad (13)$$

โดยที่ b^ϕ คือผลรวมระหว่างพจน์ในวงเล็บเหลี่ยมกับพจน์สุดท้ายของสมการ (12)



รูปที่ 1 ปริมาตรควบคุมบนพิกัดวัตถุ

3.2 สมการค่าแก้ไขความดัน

ค่าความเร็วและความดันที่สอดคล้องตามสมการความต่อเนื่องสามารถเขียนในรูปผลรวมของค่าที่ไม่สอดคล้องตามสมการความต่อเนื่องกับค่าแก้ไขเพื่อให้สอดคล้องตามสมการความต่อเนื่องได้ดังนี้

$$\begin{aligned} u &= u^* + u' \\ v &= v^* + v' \\ p &= p^* + p' \end{aligned} \quad (14)$$

โดยที่ u' , v' และ p' คือค่าแก้ไขความเร็วตามทิศการไหล ค่าแก้ไขความเร็วในทิศตั้งฉากกับการไหล และค่าแก้ไขความดัน ตามลำดับ ความเร็วที่ได้จากการโมเมนตัมสามารถเรียกว่าในรูปสมการได้ดังนี้

$$\begin{aligned} u' &= \sum_{EWNS} \frac{A^u u^*}{A_P^u} + \frac{\bar{S}_i^u}{A_P^u} + \left(B^u \frac{\partial p'}{\partial \xi} + C^u \frac{\partial p'}{\partial \eta} \right) \\ v' &= \sum_{EWNS} \frac{A^v v^*}{A_P^v} + \frac{\bar{S}_i^v}{A_P^v} + \left(B^v \frac{\partial p'}{\partial \xi} + C^v \frac{\partial p'}{\partial \eta} \right) \end{aligned} \quad (15)$$

โดยที่ $B^u = -\frac{\Delta \xi \Delta \eta}{A_P^u} \frac{\partial y}{\partial \eta}$, $C^u = \frac{\Delta \xi \Delta \eta}{A_P^u} \frac{\partial y}{\partial \xi}$, $B^v = \frac{\Delta \xi \Delta \eta}{A_P^v} \frac{\partial x}{\partial \eta}$, $C^v = -\frac{\Delta \xi \Delta \eta}{A_P^v} \frac{\partial x}{\partial \xi}$, \bar{S}_i^u และ \bar{S}_i^v คือค่าเฉลี่ยของพจน์ที่ก่อให้เกิดการสร้างหรือการสูญเสีย โดยไม่คิดผลจากเกรเดียนต์ของความดันของสมการ x -momentum และสมการ y -momentum ตามลำดับ ด้วยกิจกรรมถึงค่าที่ยังไม่สอดคล้องตามสมการความต่อเนื่อง โดยจะทำให้เกิดการสร้างมวลส่วนเกินขึ้นมาในระหว่างการคำนวณ การคำนวณมวลส่วนเกินดังกล่าวทำได้โดยการปรับแก้ค่าความเร็วที่ได้จากการโมเมนตัมซึ่งแสดงในรูปสมการต่อไปนี้ [7]

$$\begin{aligned} u &= u^* + \left(B^u \frac{\partial p'}{\partial \xi} + C^u \frac{\partial p'}{\partial \eta} \right) \\ v &= v^* + \left(B^v \frac{\partial p'}{\partial \xi} + C^v \frac{\partial p'}{\partial \eta} \right) \end{aligned} \quad (16)$$

แทนค่าสมการ (16) ลงในสมการ (10) จะได้สมการต่อไปนี้

$$\begin{aligned} U &= U^* + \left(B^u \frac{\partial y}{\partial \eta} - B^v \frac{\partial x}{\partial \eta} \right) \frac{\partial p'}{\partial \xi} + \left(C^u \frac{\partial y}{\partial \eta} - C^v \frac{\partial x}{\partial \eta} \right) \frac{\partial p'}{\partial \eta} \\ V &= V^* + \left(C^v \frac{\partial x}{\partial \xi} - C^u \frac{\partial y}{\partial \xi} \right) \frac{\partial p'}{\partial \eta} + \left(B^v \frac{\partial x}{\partial \xi} - B^u \frac{\partial y}{\partial \xi} \right) \frac{\partial p'}{\partial \xi} \end{aligned} \quad (17)$$

เนื่องจากค่าของพจน์สุดท้ายในสมการ (17) ขึ้นอยู่กับการวางตัวของเส้นกริด กล่าวคือ มีค่าเป็นศูนย์เมื่อเส้นกริดวางตัวตั้งฉากกัน และมีค่าน้อยมากเมื่อเส้นกริดวางตัวเกือบตั้งฉากกัน ดังนั้นจึงไม่มีผลกระทบค่าจากพจน์ดังกล่าว จึงเขียนสมการ (17) ใหม่ได้ดังนี้

$$\begin{aligned} U &= U^* + B \frac{\partial p'}{\partial \xi} \\ V &= V^* + C \frac{\partial p'}{\partial \eta} \end{aligned} \quad (18)$$

โดยที่ $B = B^u \frac{\partial y}{\partial \eta} - B^v \frac{\partial x}{\partial \eta}$ และ $C = C^v \frac{\partial x}{\partial \xi} - C^u \frac{\partial y}{\partial \xi}$ แทนค่าจากสมการ (18) ลงในสมการความต่อเนื่องจะได้สมการปั๊สของดังนี้

$$\begin{aligned} \left(\rho B \frac{\partial p'}{\partial \xi} \Delta \eta \right)_e - \left(\rho B \frac{\partial p'}{\partial \xi} \Delta \eta \right)_w \\ + \left(\rho C \frac{\partial p'}{\partial \eta} \Delta \xi \right)_n - \left(\rho C \frac{\partial p'}{\partial \eta} \Delta \xi \right)_s + m_p = 0 \end{aligned} \quad (19)$$

ใช้ระเบียบวิธีแบบผลต่างกลางกับพจน์ $\frac{\partial p'}{\partial \xi}$ และ $\frac{\partial p'}{\partial \eta}$ ในสมการ (19) จัดรูปสมการใหม่ จะได้

$$A_P^P p'_P = A_E^P p'_E + A_W^P p'_W + A_N^P p'_N + A_S^P p'_S + m_p \quad (20)$$

สมการ (20) เรียกว่า สมการค่าแก้ไขความดัน p'_P คือมวลที่เกิดขึ้นเนื่องจากความเร็วที่ได้จากการโมเมนตัมยังไม่สอดคล้องตามสมการความต่อเนื่อง และเพื่อให้ความเร็วที่ได้สอดคล้องตามสมการความต่อเนื่อง จึงต้องทำการปรับแก้ความเร็วที่ได้จากการโมเมนตัมด้วยค่าแก้ไขความดัน ดังแสดงในสมการ (16)

3.3 สมการความดัน

หัวข้อที่ 3.2 ได้กล่าวถึงการปรับแก้ความเร็วที่ได้จากการโมเมนตัมด้วยค่าแก้ไขความดัน เพื่อให้ความเร็วสอดคล้องตามสมการความต่อเนื่อง แต่ยังไม่ได้กล่าวถึงการหาค่าของความดัน ในหัวข้อนี้จะกล่าวถึงการหาค่าของความดัน เพื่อให้ความเร็วและความดันสอดคล้องตามสมการความต่อเนื่อง ขั้นแรกเขียนความเร็วในรูปของสมการต่อไปนี้ [5]

$$\begin{aligned} u_p &= \hat{u} + \left(B^u \frac{\partial p}{\partial \xi} + C^u \frac{\partial p}{\partial \eta} \right) \\ v_p &= \hat{v} + \left(B^v \frac{\partial p}{\partial \xi} + C^v \frac{\partial p}{\partial \eta} \right) \end{aligned} \quad (21)$$

โดยที่ \hat{u} และ \hat{v} คือ Pseudovelocity ซึ่งมีนิยามดังนี้

$$\begin{aligned} \hat{u} &= \sum_{EWNS} \frac{A^u u}{A_P^u} + \frac{\bar{S}_i^u}{A_P^u} \\ \hat{v} &= \sum_{EWNS} \frac{A^v v}{A_P^v} + \frac{\bar{S}_i^v}{A_P^v} \end{aligned} \quad (22)$$

แทนค่าสมการ (22) ลงในสมการ (10) ขั้นตอนหลังจากนี้ทำเช่นเดียวกันกับสมการค่าแก้ไขความดัน จะได้สมการความดันดังนี้

$$A_P^P p = A_E^P p_E + A_W^P p_W + A_N^P p_N + A_S^P p_S + m_p \quad (23)$$

3.4 การประมาณค่าในช่วงของ Rhee and Chow

การหาค่า m_p ในสมการ (20) นั้นต้องหารากเพล็กซ์ที่หน้าของปริมาตรควบคุม การหาค่าฟลักซ์ที่หน้าของปริมาตรควบคุมโดยการเฉลี่ยจากค่าของตัวแปรที่อยู่คนละด้านของหน้าปริมาตรควบคุม ซึ่ง

เบริยนได้กับการแตกตัวอย่างสมมาตรจากจุด (Central Difference) สำหรับระเบียบวิธีผลิต่างจ่ากัด ในการทำเช่นนี้กระบวนการหาราคาต้องอาศัยเสียงรบกวนที่ไม่สามารถเดาได้ เพราะเกิดการไม่เกะกะเกี่ยวกัน (Decoupling) ระหว่างจุดที่มีค่าเลขของพิกัดเป็นเลขคู่กับจุดที่มีค่าเลขของพิกัดเป็นเลขคี่ ซึ่งค่าตอบของห้องส่องระแนบพิกัดอาจเป็นอิสระต่อ กัน (Out of Phase) อย่างสิ้นเชิง โดยที่ต่างก็ยังเป็นผลเฉลยของสมการนาเวียร์ส-โടค [19] เพื่อสร้างกลไกให้มีการเกะกะกันระหว่างระบบพิกัดข้างตัน [8] จึงนำระบบกริดแบบจุดเดี่ยว (Staggered Grid System) มาใช้ควบคู่ไปกับการใช้ Contravariant Velocity แต่กรรมวิธีข้างตันทำให้การเขียนรหัสโปรแกรมมีความยุ่งยากอย่างมาก ส่วน [9] ใช้ระบบกริดแบบจุดร่วม (Collocated Grid System) ควบคู่ไปกับการประมาณค่าในช่วงของ Rhee and Chow [7] แทนการเดลี่ยจากค่าของด้านขวาและซ้ายที่อยู่ในละด้านของหน้าปริมาตรควบคุม โดยรายละเอียดแสดงได้ดังนี้

แทนค่าสมการ (15) ลงในสมการ (10) จะได้

$$\begin{aligned} U^* &= B \frac{\partial p^*}{\partial \xi} + \dots \\ V^* &= C \frac{\partial p^*}{\partial \eta} + \dots \end{aligned} \quad (24)$$

เพื่อความสะดวกในการอธิบายจึงจะพิจารณา กรณีที่ไม่เกี่ยวข้องกับการพิจารณา เนื่องจากการไฟลักร์ที่หน้าของปริมาตรควบคุมโดยการเฉลี่ยจากค่าของด้านขวาและซ้ายที่อยู่ในละด้านของหน้าปริมาตรควบคุม ทำให้ไฟลักร์ที่หน้าของปริมาตรควบคุมไม่สามารถตรวจสอบจับการเปลี่ยนแปลงความดันใน 1 ช่วงปริมาตรควบคุมได้ (1Δξ and 1Δη - Pressure Variation) โดยสามารถตรวจสอบได้เพียงการเปลี่ยนแปลงความดันใน 2 ช่วงปริมาตรควบคุมเท่านั้น ดังนั้นการประมาณค่าในช่วงของ Rhee and Chow จะทำการแก้ไขการไฟลักร์ที่หน้าของปริมาตรควบคุมเพื่อให้สามารถตรวจสอบจับการเปลี่ยนแปลงความดันใน 1 ช่วงปริมาตรควบคุมได้ ซึ่งแสดงในรูปของสมการได้ดังนี้

$$\begin{aligned} (\rho U^*)_e &= \overline{\rho U^*} + \rho B \left(\frac{p_E^* - p_P^*}{\Delta \xi} - \frac{\partial p^*}{\partial \xi} \right) \\ (\rho U^*)_w &= \overline{\rho U^*} + \rho B \left(\frac{p_P^* - p_W^*}{\Delta \xi} - \frac{\partial p^*}{\partial \xi} \right) \\ (\rho V^*)_n &= \overline{\rho V^*} + \rho C \left(\frac{p_N^* - p_P^*}{\Delta \eta} - \frac{\partial p^*}{\partial \eta} \right) \\ (\rho V^*)_s &= \overline{\rho V^*} + \rho C \left(\frac{p_P^* - p_S^*}{\Delta \eta} - \frac{\partial p^*}{\partial \eta} \right) \end{aligned}$$

โดยที่เล้นตรงที่อยู่เหนือตัวแปรแทนการหาค่าที่หน้าของปริมาตรควบคุมโดยการเฉลี่ยจากค่าของด้านขวาและซ้ายที่อยู่ในละด้านของหน้าปริมาตรควบคุม จะเห็นได้ว่าการเปลี่ยนแปลงความดันใน 2 ช่วงปริมาตรควบคุมถูกแทนที่ด้วยการเปลี่ยนแปลงความดันใน 1 ช่วงปริมาตรควบคุม

3.5 เงื่อนไขขอบ

เนื่องจากปัญหาที่ทำการศึกษาเป็นการไหลที่สภาวะคงตัว ฉะนั้นความเร็วของการไหลอยู่ในย่านต่ำกว่าความเร็วเสียง ทำให้คุณลักษณะของสมการนาเวียร์สโடคส์เป็นแบบอิสระพิศิก ดังนั้นเงื่อนไขของอนุที่ทางเข้าออกโดยเมนกำหนดเป็น Subsonic Inflow โดยที่ทางออกกำหนดเป็น Subsonic Outflow ส่วนที่พื้นผิวของวัสดุที่ของไหลหล่อผ่านกำหนดเป็น No-Slip Condition [10, 11]

การเดินต่อของค่าแก้ไขความดันนี้ก็คงตัวจากกันทางเข้าของโอดเมน และพื้นผิวของวัสดุที่ของไหลหล่อผ่านมีค่าเท่ากับศูนย์ เนื่องจากทราบค่าความเร็วที่บริเวณดังกล่าว ส่วนค่าแก้ไขความดันที่ทางออกมีค่าเท่ากับศูนย์ เนื่องจากทราบค่าความดันที่ทางออก

3.6 ขั้นตอนการคำนวณ

ขั้นตอนการคำนวณห้องหมุดเป็นไปตามขั้นตอนนี้ SIMPLER [5] ซึ่งสรุปได้ดังนี้

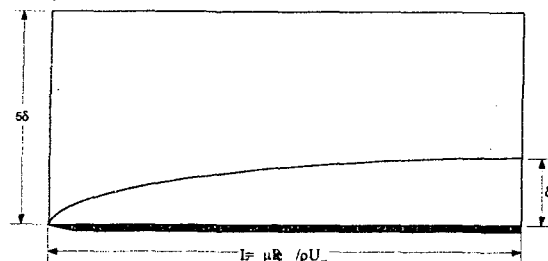
- 1) คำนวณสมการโมเมนตัมเพื่อหาความเร็ว
- 2) คำนวณสมการความดันเพื่อหาความดัน
- 3) คำนวณสมการค่าแก้ไขความดันเพื่อหาค่าแก้ไขความดัน
- 4) ปรับแก้ความเร็วที่ได้จากขั้นตอนที่ 1 ด้วยค่าแก้ไขความดันดังสมการ (16)
- 5) คำนวณค่าพลังงานจนของ การบันปวนและอัตราการสูญเสีย พลังงานจนของ การบันปวนโดยใช้แบบจำลองการบันปวน ประเภทหนึ่งสมการของ [12]
- 6) คำนวณสมการพลังงานเพื่อหาพลังงานรวมจำเพาะ
- 7) คำนวณความหนาแน่นจากสมการสภาวะ
- 8) คำนวณความหนีดพลวตราชากฎของ Sutherland
- 9) คำนวณสภาพน้ำความร้อนจากนิยามของเลขพรันด์เกลล์
- 10) กลับไปทำการคำนวณที่ 1 ใหม่จนกระทั่งการคำนวณครบ 500 รอบ เพื่อสร้างเงื่อนไขเริ่มต้น
- 11) คำนวณสมการโมเมนตัมเพื่อหาความเร็ว
- 12) คำนวณสมการความดันเพื่อหาความดัน
- 13) คำนวณสมการค่าแก้ไขความดันเพื่อหาค่าแก้ไขความดัน
- 14) ปรับแก้ความเร็วที่ได้จากขั้นตอนที่ 11 ด้วยค่าแก้ไขความดันดังสมการ (16)
- 15) คำนวณสมการพลังงานจนของ การบันปวนเพื่อหาพลังงานจนของ การบันปวน
- 16) คำนวณสมการอัตราการสูญเสียพลังงานจนของ การบันปวน เพื่อหาอัตราการสูญเสียพลังงานจนของ การบันปวน
- 17) คำนวณสมการพลังงานเพื่อหาพลังงานรวมจำเพาะ
- 18) คำนวณความหนาแน่นจากสมการสภาวะ
- 19) คำนวณความหนีดพลวตราชากฎของ Sutherland
- 20) คำนวณสภาพน้ำความร้อนจากนิยามของเลขพรันด์เกลล์
- 21) กลับไปทำการคำนวณที่ 11 ใหม่จนกระทั่งผลการคำนวณลู่ เข้าหากำตอง

4. การทดสอบซอฟต์แวร์

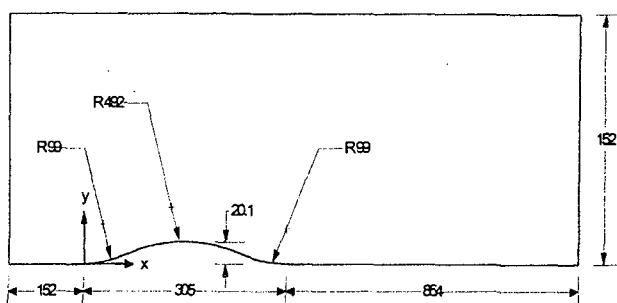
ความถูกต้องของซอฟต์แวร์ได้รับการทดสอบโดยนำผลการคำนวณเชิงตัวเลขที่ได้เปรียบเทียบกับผลเฉลยเชิงวิเคราะห์ ผลการคำนวณเชิงตัวเลขที่เป็นที่ยอมรับ และข้อมูลที่ได้จากการทดลอง โดยเลือกการไหลผ่านแผ่นเรียบเป็นกรณีศึกษาเพื่อตรวจสอบความถูกต้องของระบบเบี้ยนเว็บเชิงตัวเลขและแบบจำลองการปั่นป่วนที่เลือกใช้ และเลือกการไหลผ่านส่วนโค้งกลมเป็นกรณีศึกษาเพื่อตรวจสอบความถูกต้องของการประมาณค่าในช่วงของ Rhee and Chow.

5. ผลการคำนวณ

รูปที่ 2 และรูปที่ 3 แสดงรายละเอียดของแผ่นเรียบและส่วนโค้งกลม [13] ตามลำดับ

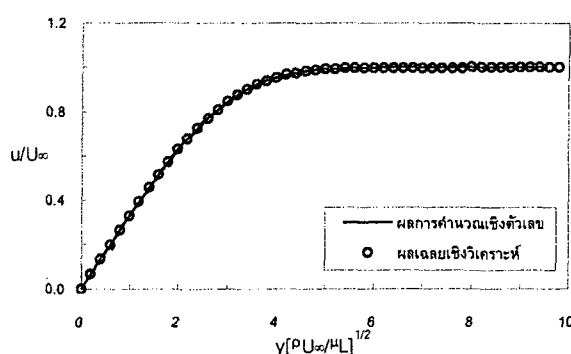


รูปที่ 2 รายละเอียดของแผ่นเรียบ



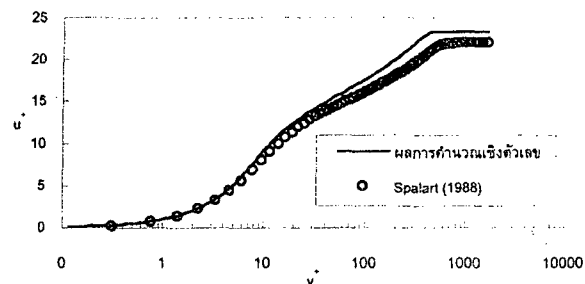
รูปที่ 3 รายละเอียดของส่วนโค้งกลม (หน่วยเป็นมิลลิเมตร)

รูปที่ 4 แสดงการกระจายตัวของความเร็วของการไหลของชั้นชิดผิวแบบราบเรียบและไม่อัดตัวบนแผ่นเรียบ ที่เลขมัก 0.1 โดยเปรียบเทียบกับผลเฉลยเชิงวิเคราะห์ [14]

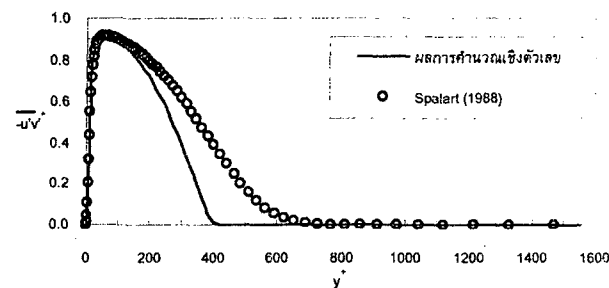


รูปที่ 4 การกระจายตัวของความเร็วเทียบกับผลเฉลยเชิงวิเคราะห์

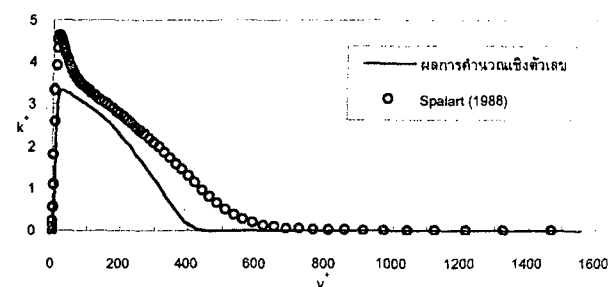
รูปที่ 5-7 แสดงผลการคำนวณของการไหลของชั้นชิดผิวแบบบันปวนและไม่อัดตัวบนแผ่นเรียบ ที่ $Re_\theta = 1410$ โดยเปรียบเทียบกับข้อมูล DNS ของ [15] รูปที่ 5 แสดงการกระจายตัวของความเร็ว รูปที่ 6 แสดงการกระจายตัวของความเค้น $-nu'$ และรูปที่ 7 แสดงการกระจายตัวของพลังงานจลน์ของการปั่นป่วน



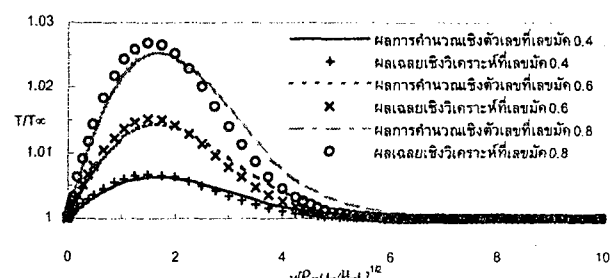
รูปที่ 5 การกระจายตัวของความเร็วเทียบกับข้อมูล DNS



รูปที่ 6 การกระจายตัวของความเค้น $-nu'$ เทียบกับข้อมูล DNS

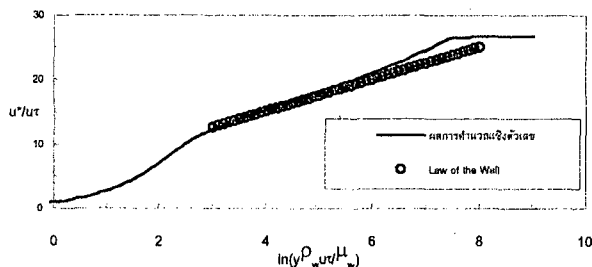


รูปที่ 7 การกระจายตัวของพลังงานจลน์ของการปั่นป่วน

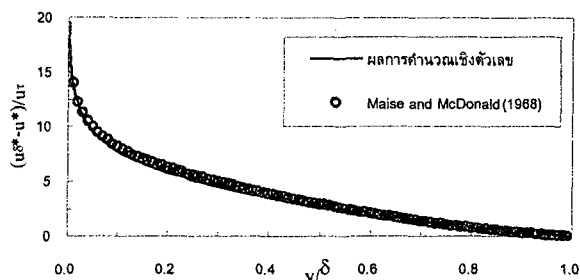


รูปที่ 8 การกระจายตัวของอุณหภูมิเทียบกับผลเฉลยเชิงวิเคราะห์

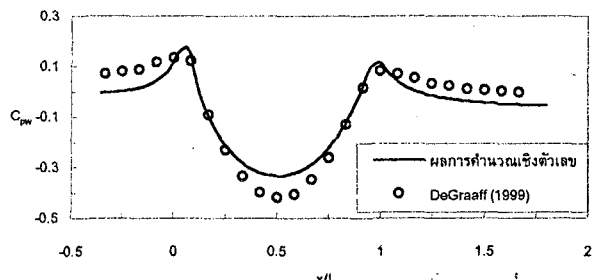
รูปที่ 8 แสดงการกระจายตัวของอุณหภูมิของการไหลของชั้นชิด ผิวแบบราบเรียบและอัดตัวได้บนแผ่นเรียบ ที่เลขมัค 0.4, 0.6 และ 0.8 โดยเปรียบเทียบกับผลเฉลยเชิงวิเคราะห์ [14, 16]



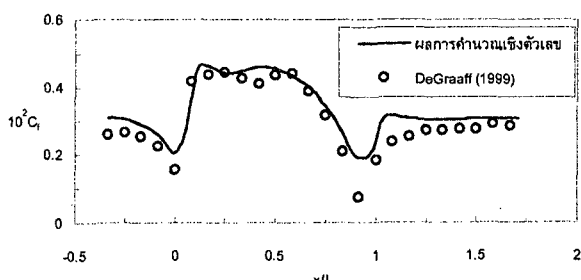
รูปที่ 9 การกระจายตัวของความเรื้อรีบเทียบกับ Law of the Wall



รูปที่ 10 การกระจายตัวของความเรื้อรีบเทียบกับข้อมูลจากการทดลอง



รูปที่ 11 การกระจายตัวของสัมประสิทธิ์ความดันสถิตที่พื้นผิว

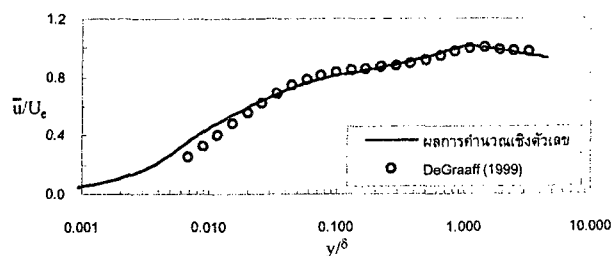


รูปที่ 12 การกระจายตัวของสัมประสิทธิ์ความเสียดทานที่พื้นผิว

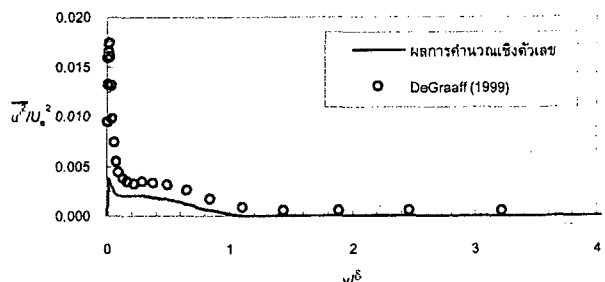
รูปที่ 9 และรูปที่ 10 แสดงการกระจายตัวของความเรื้อรีบของการไหลของชั้นชิดผิวแบบบែនបែនและอัดตัวได้บนแผ่นเรียบ ที่เลขมัค

0.824 โดยเปรียบเทียบกับ Law of the Wall และข้อมูลที่ได้จากการทดลอง [17, 18]

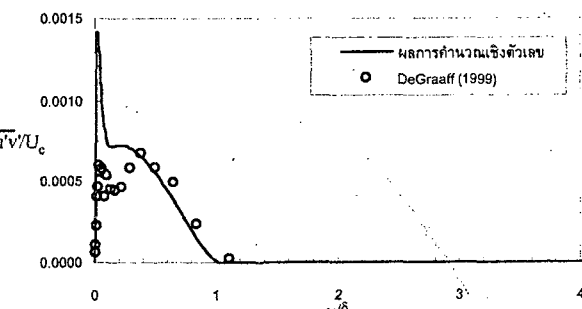
รูปที่ 11-16 แสดงผลการคำนวณของการไหลแบบบែนបែนและไม่อัดตัวผ่านส่วนโค้งกลมเปรียบเทียบกับ [13] โดยที่ $U_\infty = 14.4 \text{ m/s}$ ซึ่งเนื่องไข่ขอบที่ทางเข้าของโดเมนสร้างขึ้นจากการไหลผ่านแผ่นเรียบ โดยกำหนดให้ความสูงของชั้นชิดผิวที่บริเวณดังกล่าวมีขนาด 1.5 เท่า ของความสูงของส่วนโค้งกลม รูปที่ 11 แสดงการกระจายตัวของสัมประสิทธิ์ความดันสถิตที่พื้นผิว รูปที่ 12 แสดงการกระจายตัวของสัมประสิทธิ์ความเสียดทานที่พื้นผิว รูปที่ 13-16 แสดงการกระจายตัวของค่าต่าง ๆ ได้แก่ ความเร็ว ความเค้น \bar{u}'^2 ความเค้น $-\bar{u}'v'$ และพลังงานจนของการบែนបែน ที่บริเวณจุดยอดของส่วนโค้งกลม



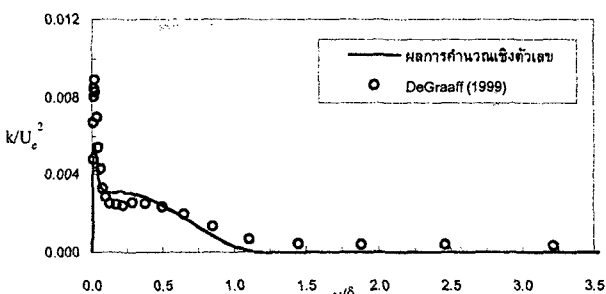
รูปที่ 13 การกระจายตัวของความเร็วที่จุดยอดของส่วนโค้งกลม



รูปที่ 14 การกระจายตัวของความเค้น \bar{u}'^2 ที่จุดยอดของส่วนโค้งกลม



รูปที่ 15 การกระจายตัวของความเค้น $-\bar{u}'v'$ ที่จุดยอดของส่วนโค้งกลม



รูปที่ 16 การกระจายตัวของพลังงานจลน์ของการบีนป่วนที่จุดยอดของส่วนโถกกลม

6. สรุปและวิจารณ์

ซอฟต์แวร์ที่สร้างขึ้นได้แสดงให้เห็นว่า ระเบียบวิธีเชิงตัวเลข แบบจำลองการบีนป่วน และการประมาณค่าในช่วงของ Rhee and Chow ที่ใช้ในงานวิจัยนี้สามารถใช้ศึกษาพัฒนาระบบของ流れได้อย่างแม่นยำ พอดีกับในอนาคตเพิ่มความสามารถให้กับซอฟต์แวร์เพื่อจำลองการไหลในสามมิติได้ รวมทั้งเปลี่ยนแบบจำลองการบีนป่วนเพื่อให้ผลการคำนวณมีความถูกต้องมากกว่าในปัจจุบัน

7. กิตติกรรมประกาศ

ขอขอบคุณ คุณคงเทพ บุญมี ที่ให้คำปรึกษาเกี่ยวกับการโปรแกรมคอมพิวเตอร์

งานวิจัยนี้ได้รับทุนอุดหนุนการทั่วไปจากมหาวิทยาลัยเทคโนโลยีศรีราชา

เอกสารอ้างอิง

- [1] Wilcox, D. C., "Turbulence Modeling for CFD," DCW, California, 1993.
- [2] Launder, B. E., and Sharma, B. I., "Application of the Energy Dissipation Model of Turbulence to the Calculation of Flow Near a Spinning Disc," Letters in Heat and Mass Transfer, Vol.1, 1974, pp.131-138.
- [3] Patel, V. C., Rodi, W., and Scheuerer, G., "Turbulence Models for Near-Wall and Low Reynolds Number Flows: A Review," AIAA Journal, Vol.23, No.9, 1985, pp.1308-1319.
- [4] Varangrat, S., "Computational Study of Compressible Flow in an S-Shaped Duct," Ph.D. Thesis, Department of Mechanical Engineering, Imperial College, University of London, 1999.
- [5] Patankar, S. V., "Numerical Heat Transfer and Fluid Flow," Hemisphere, U.S.A., 1980.
- [6] Versteeg, H. K., and Malalasekera, W., "An Introduction to Computational Fluid Dynamics: The Finite Volume Method," Longman Scientific & Technical, Malaysia, 1995.
- [7] Rhee, C. M., and Chow, W. L., "Numerical Study of the Turbulent Flow Past an Airfoil with Trailing Edge Separation," AIAA Journal, Vol.21 No.11, 1983, pp.1525-1532.
- [8] Karki, K. C., and Patankar, S. V., "Pressure Based Calculation Procedure for Viscous Flows at All Speeds in Arbitrary Configurations," AIAA Journal, Vol.27, No.9, 1989, pp.1167-1174.
- [9] Demirdzic, I., Lilek, Z., and Peric, M., "A Collocated Finite Volume Method for Predicting Flows at All Speeds," International Journal for Numerical Methods in Fluids, Vol.16, 1993, pp.1029-1050.
- [10] Nicholas, J., Chitsomboon, T., and Zhu, J., "Modification of the Two-Equation Turbulence Model in NPARC to a Chien Low Reynolds Number $k-\epsilon$ Formulation," NASA Technical Memorandum 106710, 1994.
- [11] Uslu, S., "Numerical Prediction of Transonic Flow in Turbine Blade Passages," Ph.D. Thesis, Department of Mechanical Engineering, Imperial College, University of London, 1994.
- [12] Hassid, S., and Poreh, M., "A Turbulent Energy Dissipation Model for Flows with Drag Reduction," ASME, Journal of Fluids Engineering, Vol.100, 1978, pp.107-112.
- [13] DeGraaff, D. B., "Reynolds Number Scaling of the Turbulent Boundary Layer on a Flat Plate and on Swept and Unswept Bumps," Ph.D. Dissertation, Stanford University, California, 1999.
- [14] White, F. M., "Viscous Fluid Flow," McGraw-Hill, Singapore, 1991.
- [15] Spalart, P. R., "Direct Simulation of a Turbulent Boundary Layer up to $R_\theta = 1410$," Journal of Fluid Mechanics, Vol.187, 1988, pp.61-98.
- [16] Juntasaro, E., and Sawatmongkhon, B., "Compressible Laminar Flow towards a Numerical Wind Tunnel," Proceedings of the 13th National Mechanical Engineering Conference, 2-3 December 1999, Royal Cliff Beach Resort Hotel, South Pattaya, Cholburi, Thailand, Vol.1, pp.132-137.
- [17] Motallebi, F., "Reynolds Number Effects on the Prediction of Mean Flow Data for Adiabatic 2-D Compressible Boundary Layers," Aeronautical Journal, 1996, pp.53-59.
- [18] Maise, G., and McDonald, H., "Mixing Length and Kinematic Eddy Viscosity in a Compressible Boundary Layer," AIAA Journal, Vol.6, No.1, 1968, pp.73-80.
- [19] ทวีช จิตธรรมบูรณ์ และ สุวรรณ อารสาเมศร์, "ໂມຢາ: ໂປຣແກຣມເພື່ອວິເຄາະທິການໄຫລ," ໃນ ສັນນາວິຊາການວິຄວາຮົມເຄື່ອງກລແຫ່ງປະເທດໄທຍ່າງີ 13, ປີ ພ.ສ. 2542, ພັນ 124-131.